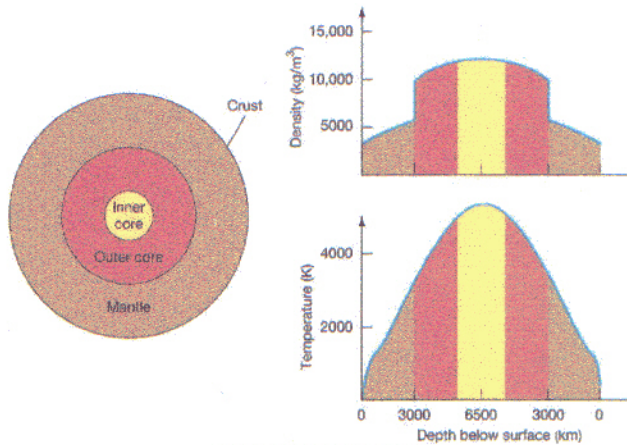


CAPITOLO 1

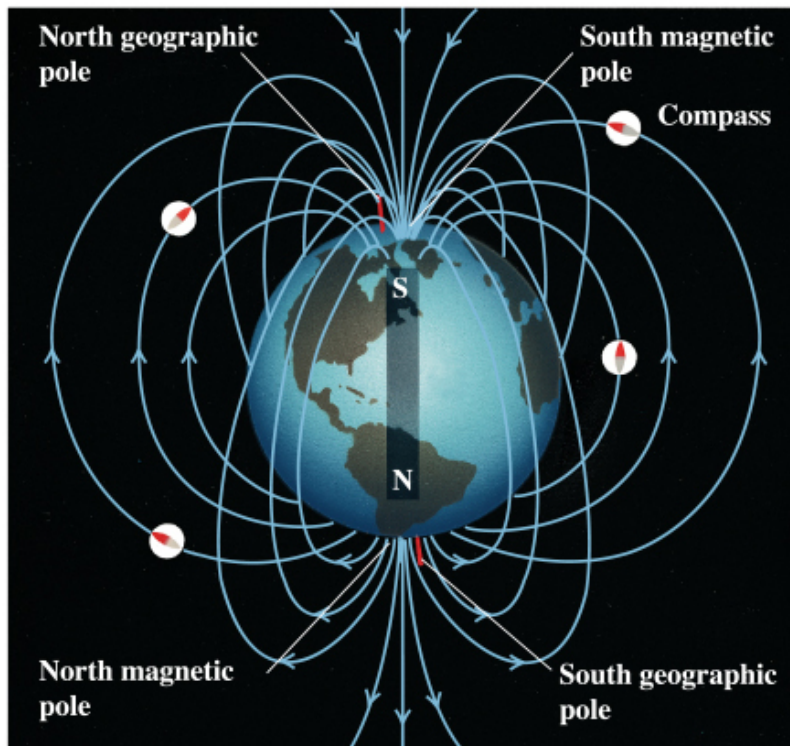
- Campo magnetico terrestre
- Rotazione all'origine del campo magnetico planetario
- Moto di particelle cariche nel campo magnetico dei pianeti
- Fasce di Van Allen e toro di plasma di Giove
- Magnetosfera

CAMPO MAGNETICO TERRESTRE



Copyright © 2005 Pearson Prentice Hall, Inc.

Origine: correnti convettive nell'outer core fluido + rotazione del pianeta

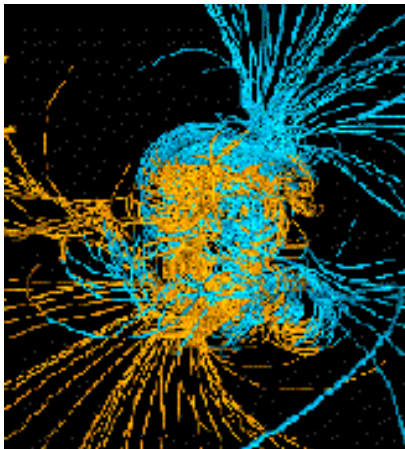
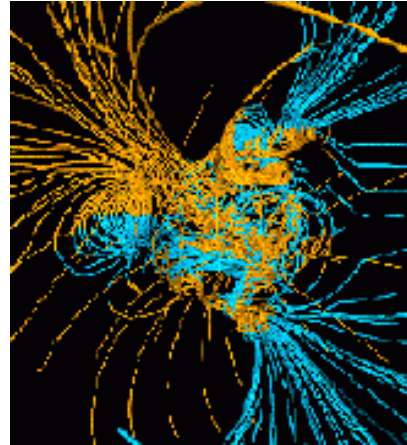
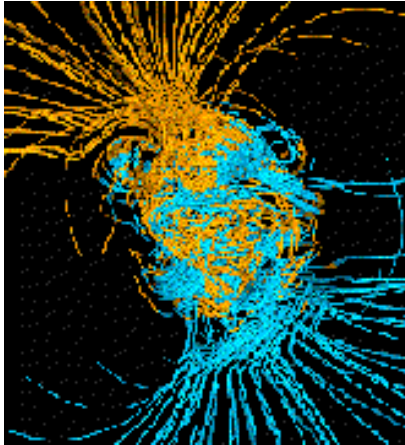


Copyright © Addison Wesley Longman, Inc.

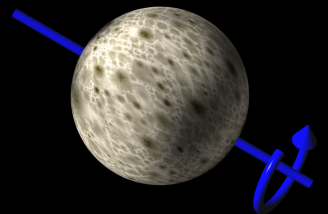
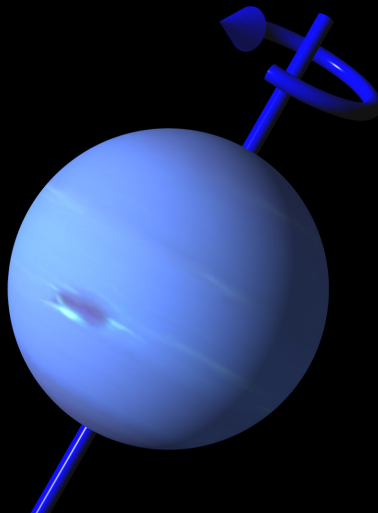
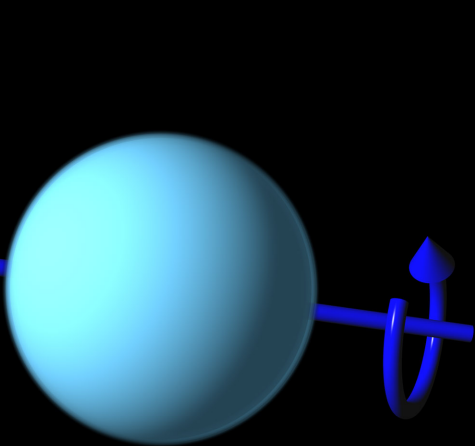
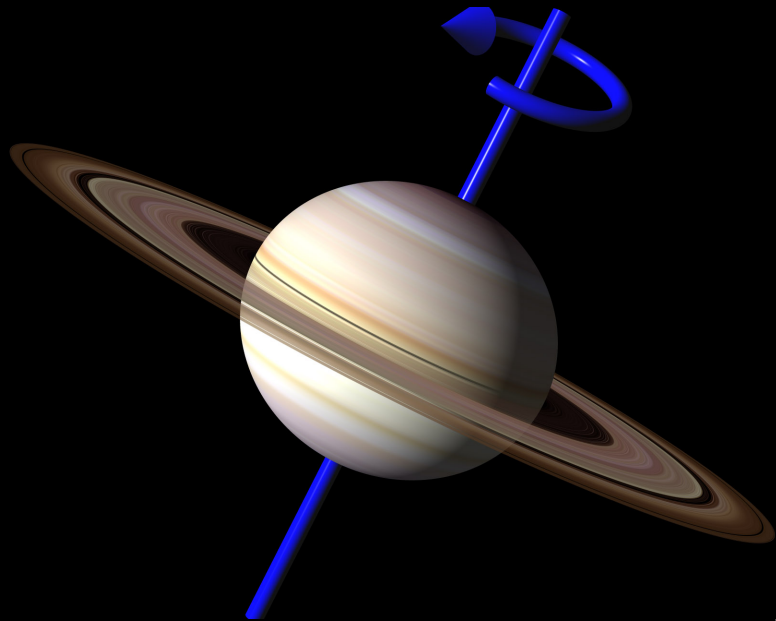
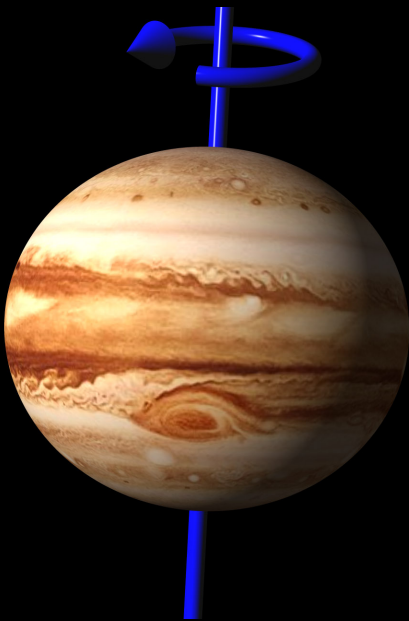
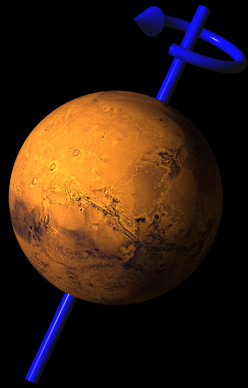
Campo di dipolo: 90% del campo totale

- 97-99% Campo principale dovuto a correnti nel nucleo
- 1-2% Campo dovuto a rocce magnetizzate nella crosta
- 1-2% Campo esterno prodotto da correnti attorno alla Terra

**Il campo magnetico terrestre si inverte
circa ogni 250000 anni. (in media, il
processo avviene in modo casuale)**



**Risultati del modello di
Glatzmaier-Roberts:
simulazione idrodinamica
che modella i fenomeni
convettivi in un core esterno
liquido attorno al core interno
solido. La durata
dell'inversione del campo
magnetico è di poche
migliaia di anni**



ϵ = obliquità

α = inclin. dipolo magn. rispetto asse rot.

• Mercurio

$$\alpha = 10^\circ \quad M_B = 4 \cdot 10^{-4}$$

$$\epsilon = 0^\circ \quad P \sim 58.6 \text{ d}$$

• Venere

$$\alpha = 0^\circ \quad M_B = 0$$

$$\epsilon = 177^\circ \quad P \sim -243 \text{ d}$$

• Terra

$$\alpha = 10.8^\circ \quad M_B = 1$$

$$\epsilon = 23.5^\circ \quad P \sim 1 \text{ d}$$

• Marte

$$\alpha = 0^\circ \quad M_B = 0$$

$$\epsilon = 25.9^\circ \quad P \sim 1 \text{ d}$$

• Giove

$$\alpha = 9.6^\circ \quad M_B = 20000$$

$$\epsilon = 3.12^\circ \quad P \sim 9.9 \text{ d}$$

• Saturno

$$\alpha < 1^\circ \quad M_B = 600$$

$$\epsilon = 26.75^\circ \quad P \sim 10.7 \text{ d}$$

• Urano

$$\alpha = 60^\circ \quad M_B = 50$$

$$\epsilon = 97.86^\circ \quad P \sim -17.2 \text{ d}$$

• Nettuno

$$\alpha = 47^\circ \quad M_B = 25$$

$$\epsilon = 29.56^\circ \quad P \sim 16.1 \text{ d}$$

$$M_B = 7.906 \cdot 10^{25} \text{ Gauss cm}^{-3}$$

Momento terrestre.

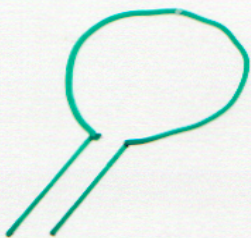
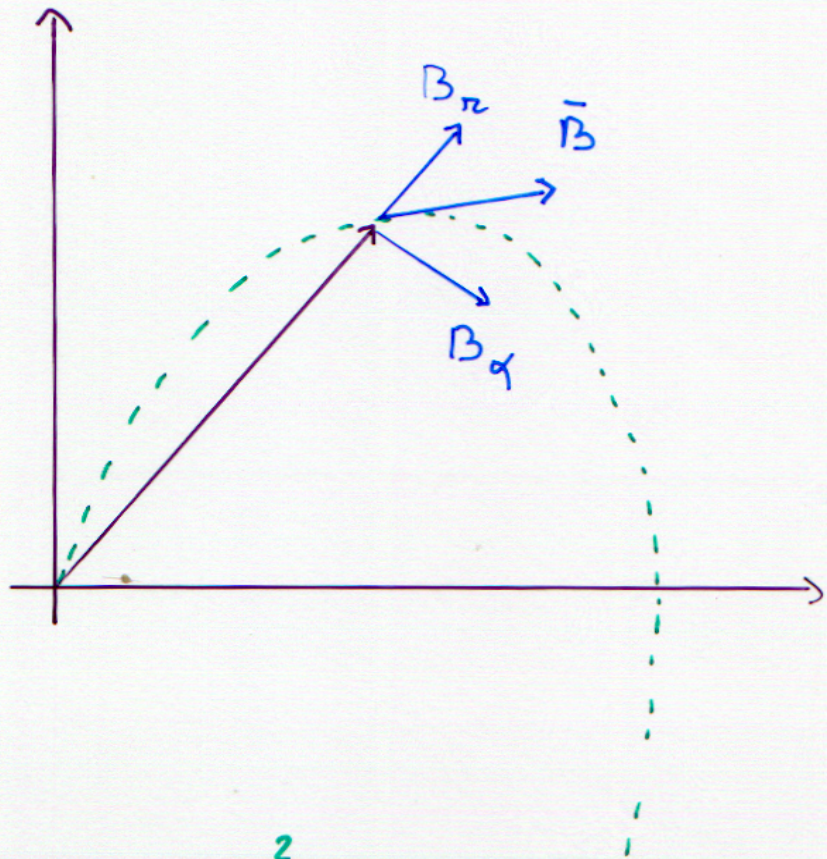
CAMPO MAGNETICO DIPOLARE

$$B_r = 2 \frac{\mu_0 m}{4\pi r^3} \cos \alpha$$

$$B_\alpha = -\frac{\mu_0 m}{4\pi r^3} \sin \alpha$$

$$B_\phi = 0$$

m = MOMENTO
MAGNETICO



$$m = A_s \cdot I = \pi r^2 \cdot I$$

1 TESLA = 10 000 GAUSS

Unità di misura

$$F = qvB$$

$$\text{Tesla} : \frac{N \cdot s}{C \cdot m}$$

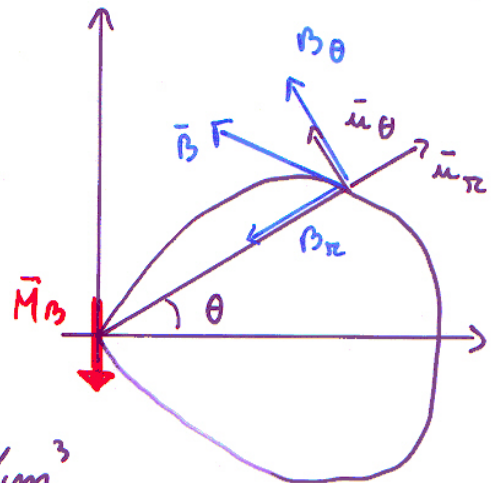
CAMPO MAGNETICO TERRESTRE:

APPROSSIMAZIONE DI POLARE

$$B_r = -\frac{2M_B}{r^3} \sin \theta$$

$$B_\theta = \frac{M_B}{r^3} \cos \theta$$

$$B_\phi = 0$$



$$M_B^\oplus = 7.906 \times 10^{25} \text{ gauss} \cdot \text{cm}^3$$

$$= \frac{\mu_0 m}{4\pi}$$

LINEE di CAMPO: $r = r_e \cos^2 \theta$

$$\vec{v} = \dot{r} \vec{u}_r + r \dot{\theta} \vec{u}_\theta + r \sin \theta \dot{\phi} \vec{u}_\phi$$

$$\vec{v}_c = -2 r_e \cos \theta \sin \theta \dot{\theta} \vec{u}_r + r_e \cos^2 \theta \cdot \dot{\theta} \vec{u}_\theta =$$

$$= r_e \cos \theta \dot{\theta} (-2 \sin \theta \vec{u}_r + \cos \theta \vec{u}_\theta)$$

tangente
linea di campo.

$$\Rightarrow \vec{v}_c \parallel \vec{B}$$

$$|\vec{B}| = \frac{M_B}{r_e^3 \cos^3 \theta} \cdot \left[4 \sin^2 \theta + \cos^2 \theta \right]^{\frac{1}{2}} = \frac{M_B}{r_e^3} \left[\frac{4 - 3 \cos^2 \theta}{\cos^6 \theta} \right]^{\frac{1}{2}}$$

$$= B_e \sqrt{\frac{4 - 3 \cos^2 \theta}{\cos^6 \theta}} \quad B_e = \frac{M_B}{r_e^3}$$

CAMPO MAGNETICO CALCOLATO LUNGO LA LINEA di CAMPO

MOTO delle CARICHE nel CAMPO MAGNETICO TERRESTRE.

1) MOTO GIROMAGNETICO

$$\vec{B} = (0, 0, B) \quad \vec{v} = (v_x, v_y, 0)$$

$$\begin{cases} m \dot{v}_x = q v_y B \\ m \dot{v}_y = -q v_x B \end{cases} \quad \begin{cases} \ddot{x} = \frac{qB}{m} \dot{y} = -\left(\frac{qB}{m}\right)^2 x \\ \ddot{y} = \frac{qB}{m} \dot{x} = -\left(\frac{qB}{m}\right)^2 y \end{cases}$$

$$\begin{aligned} \ddot{x} &= -\Omega_c^2 x \\ \ddot{y} &= -\Omega_c^2 y \end{aligned}$$

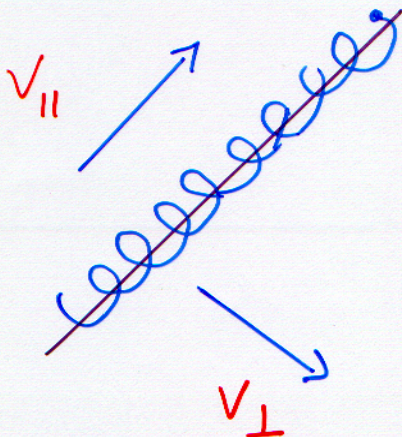
$$\vec{a} = -\Omega_c^2 \vec{r} \quad \text{MOTO CIRCOLARE UNIFORME}$$

$$\boxed{\Omega_c = \frac{qB}{m}}$$

FREQUENZA di CICLOTRONE.

$$|a| = \Omega_c^2 |r| = \frac{v^2}{r}$$

$$r = \frac{v}{\Omega_c} = \frac{v_{\perp} m}{qB} \quad \text{RAGGIO di CICLOTRONE (o LARMOR)}$$

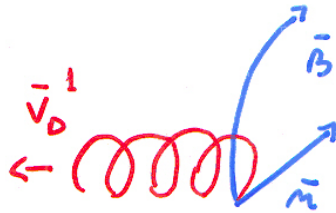


per la Terra
 e^- di 100 KeV \Rightarrow
 $r \sim 100 \text{ m}$
 $p \sim \mu\text{s}$
 $v \sim 10^6 \text{ km/s}$

2) MOTO di DRIFT

1) Se le linee di campo sono curve:

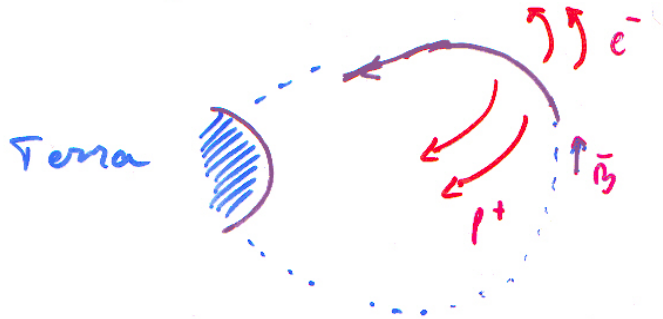
$$\vec{V}_D^1 = m v_{||}^2 \frac{\vec{B} \times \vec{m}}{R_c q B^2}$$



$R_c =$
raggio di curvatura.
 $= \frac{B}{\nabla_{\perp} B}$

2) Se c'è gradiente nel campo

$$\vec{V}_D^2 = \frac{1}{2} m v_{\perp}^2 \frac{\vec{B} \times \nabla B}{q B^3}$$



PROTONI &
ELETTRONI DRIFTANO
IN DIREZIONI OPPOSITE

3) Campi $\vec{E} \ll \vec{g}$ (E è radiale per la Terra.)

$$\vec{V}_D^3 = c \frac{\vec{E} \times \vec{B}}{B^2} + \frac{m c}{q B^2} \vec{g} \times \vec{B}$$

TERMINE DOMINANTE: V_D^2 perché $\propto v_{\perp}$

o) $\vec{E} \times \vec{B}$ drift.

RUTHERFORD
"Introduction to
Plasma Physics"

$\vec{B} = B \cdot \hat{z}$ in un sistema di riferimento
compreso

\vec{E} uniforme e costante.

$$m \dot{\vec{v}} = q (\vec{E} + \vec{v} \times \vec{B})$$

Sia $\vec{u} = \vec{v} - \frac{(\vec{E} \times \vec{B})}{B^2}$

velocità della particella in un SOLR

con $v_{\text{SolR}} = \frac{\vec{E} \times \vec{B}}{B^2}$

$$\dot{\vec{u}} = \dot{\vec{v}} \quad (\text{per la costanza di } \vec{E}, \vec{B})$$

$$m \dot{\vec{u}} = q (\vec{E} + \vec{v} \times \vec{B}) = q \left(\vec{E} + \vec{u} \times \vec{B} + \frac{(\vec{E} \times \vec{B}) \times \vec{B}}{B^2} \right)$$

$$= q \left(\vec{E} + \vec{u} \times \vec{B} + \frac{(\vec{E} \cdot \vec{B}) \vec{B}}{B^2} - \vec{E} \right) =$$

$$= q \left(\hat{b} (\vec{E} \cdot \hat{b}) + \vec{u} \times \vec{B} \right)$$

con $\hat{b} = \frac{\vec{B}}{B}$

* $(\vec{A} \times \vec{B}) \times \vec{C} = (\vec{A} \cdot \vec{C}) \vec{B} - (\vec{B} \cdot \vec{C}) \vec{A}$

Consideriamo ora $u_{\parallel} = \bar{u} \cdot \hat{b}$
 $u_{\perp} = \|\bar{u} - u_{\parallel} \hat{b}\|$

$$m \dot{\bar{u}} \cdot \hat{b} = m \dot{u}_{\parallel} = q \left(\hat{b} \cdot \hat{b} (\bar{E} \cdot \hat{b}) + (\bar{u} \times \bar{B}) \cdot \hat{b} \right) =$$

$$= q E_{\parallel}$$

ma $u_{\parallel} = v_{\parallel}$ per cui

$$\dot{\bar{u}} \cdot \hat{b} = \dot{\bar{v}} \cdot \bar{b} - \frac{(\bar{E} \times \bar{B}) \cdot \hat{b}}{B^2} = 0$$

quindi

$$v_{\parallel} = \frac{q}{m} E_{\parallel} t + v_{\parallel 0}$$

Ora: per ottenere u_{\perp} si sottrae a

$$\dot{\bar{u}} - \dot{u}_{\parallel} \hat{b} \Rightarrow$$

$$m \dot{\bar{u}} - m \dot{u}_{\parallel} \hat{b} = q \left(\hat{b} (\bar{E} \cdot \hat{b}) + \bar{u} \times \bar{B} - q E_{\parallel} \hat{b} \right) =$$

$$= q (\bar{u} \times \bar{B}) = q \bar{u}_{\perp} \times \bar{B}$$

$$m \dot{\bar{u}}_{\perp} = q \bar{u}_{\perp} \times \bar{B}$$

Nel S.d.R. in moto con $\bar{v}_{dH} = \frac{\bar{E} \times \bar{B}}{B^2}$ la

3) le guiding center si muove lungo
le linee di campo con $v_{||}$ (\parallel a \bar{B})

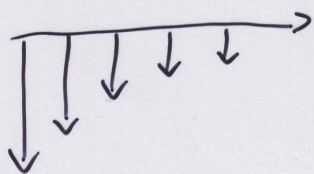
ALLORA, nel Sd R originale il
guiding center si muove con velocità

$$\bar{v}_{gc} = v_{||} \hat{b} + \frac{\bar{E} \times \bar{B}}{B^2}$$

$$v_E = \frac{\bar{E} \times \bar{B}}{B^2}$$

VELOCITÀ
di
DRIFT

4) •) Drift dovuta a $\bar{\nabla} B$



Campo non
omogeneo

(Si assume che $r_L \ll$ scala di variazione
di \bar{B})

$$\frac{r_L}{\bar{B}} |\bar{\nabla} B| \ll 1$$

Si sviluppa la \bar{v} della particella
come una serie

$$\bar{v} = \bar{v}_0 + \bar{v}_1 + \bar{v}_2 + \dots \quad \text{Termini via
via piú piccoli.}$$

dove il termine 0 corrisponde al moto
giromagnetico. Si assume anche che:

$$\bar{B} = B_{gc} \hat{z} + (\gamma - \gamma_{gc}) \frac{dB}{dy} \cdot \hat{z}$$

dove γ_{gc} è il guiding center della
particella all'inizio ($t=0$)

5) Le eq. del moto sono: $(m \dot{\vec{v}} = q \vec{v} \times \vec{B})$

$$m \dot{v}_x = q v_y \left[B_{gc} + (\gamma - \gamma_{gc}) \frac{dB}{d\gamma} \right]$$

$$m \dot{v}_y = -q v_x \left[B_{gc} + (\gamma - \gamma_{gc}) \frac{dB}{d\gamma} \right]$$

Introduciamo nelle equazioni γ si sviluppa in serie fino al I° ORDINE (si trascura il II°)

$$m \dot{v}_{x0} + m \dot{v}_{x1} = q (v_{y0} + v_{y1}) \left[B_{gc} + (\gamma_0 + \gamma_1 - \gamma_{gc}) \frac{dB}{d\gamma} \right]$$

$$m \dot{v}_{y0} + m \dot{v}_{y1} = -q (v_{x0} + v_{x1}) \left[B_{gc} + (\gamma_0 + \gamma_1 - \gamma_{gc}) \frac{dB}{d\gamma} \right]$$

- Assumiamo che v_{x0} e v_{y0} e γ_0 corrisponda al moto giro magnetico

- si trascura $\gamma_1 \cdot \frac{dB}{d\gamma}$ perché di II° ordine

(piccoli rispetto al moto giro magnetico)

SOLUZIONE 0 ^{ORD.} \Rightarrow moto giro magnetico

SOLUZIONE 1 \Rightarrow moto di drift



6)

$$m \dot{v}_{x1} = q v_{y1} B_{gc} + q v_{y0} (\gamma_0 - \gamma_{gc}) \frac{dB}{dy}$$

$$m \dot{v}_{y1} = -q v_{x1} B_{gc} - q v_{x0} (\gamma_0 - \gamma_{gc}) \frac{dB}{dy}$$

(si trascura $q v_{y1} (\gamma_0 - \gamma_{gc}) \frac{dB}{dy}$ perché Π° ordine,

è steso per $q v_{x1} (\gamma_0 - \gamma_{gc}) \frac{dB}{dy}$).

→ Si esegue media delle quantità nelle equazioni su molti periodi di moto giro magnetico.

Ora $m \langle v_{x1} \rangle$ e $m \langle v_{y1} \rangle$ sono quantità piccole ^(Π° ord) e la media $m \langle \dot{v}_{x1} \rangle$ ad esempio rappresenta la piccola variazione di una quantità piccola (Π° ord).

In altre parole, la variazione di $\langle v_x \rangle$ rispetto al periodo giro magnetico è piccola.

7) Allora:

$$q \langle V_{x1} \rangle B_{gc} + q \langle V_{y0} (\gamma_0 - \gamma_{gc}) \rangle \frac{dB}{dy} = 0$$

$$-q \langle V_{x1} \rangle B_{gc} - q \langle V_{x0} (\gamma_0 - \gamma_{gc}) \rangle \frac{dB}{dy} = 0$$

Ora la media di $V_{y0} (\gamma_0 - \gamma_{gc})$ è nulla perché

$$V_{y0} = \pm i V_{\perp} e^{i(\omega_c t + \delta)}$$
$$\gamma_0 - \gamma_{gc} = \pm \frac{V_{\perp}}{\omega_c} e^{i(\omega_c t + \delta)} \quad \leftarrow \begin{array}{l} \text{PARTE} \\ \text{REALE} \end{array}$$

I due termini sono sfasati di 90° , sono oscillanti e quindi la media è 0. $\Rightarrow \langle V_{y1} \rangle = 0$

$$\langle V_{x1} \rangle = - \langle V_{x0} (\gamma_0 - \gamma_{gc}) \rangle \frac{dB}{dy}$$

$$\text{dove } \langle V_{x0} (\gamma_0 - \gamma_{gc}) \rangle = \frac{V_{\perp}^2}{\omega_c} \langle e^{2i(\omega_c t + \delta)} \rangle =$$
$$= \frac{V_{\perp}^2}{2\omega_c}$$

$$* \bullet \langle \operatorname{Re} (i V_{\perp} e^{i(\omega_c t + s)}) \cdot \operatorname{Re} \left(\frac{V_{\perp}}{\omega_c} e^{i(\omega_c t + s)} \right) \rangle =$$

$$= \frac{V_{\perp}^2}{\omega_c} \langle -\sin p \cos p \rangle = -\frac{V_{\perp}^2}{\omega_c} \frac{1}{2\pi} \int_0^{2\pi} \sin p \cos p dp = 0$$

$$\bullet \langle V_{x0} \cdot (Y_c - Y_{g_c}) \rangle = \frac{V_{\perp}^2}{\omega_c} \langle \operatorname{Re} (e^{i(\omega_c t + s)}) \cdot \operatorname{Re} (e^{i(\omega_c t + s)}) \rangle =$$

$$= \frac{V_{\perp}^2}{\omega_c} \frac{1}{2\pi} \int_0^{2\pi} \cos^2 p dp = \frac{V_{\perp}^2}{\omega_c} \frac{\pi}{2\pi} = \frac{V_{\perp}^2}{2\omega_c}$$

8)

$$\langle v_{x1} \rangle = \frac{v_{\perp}^2}{2\omega_c} \frac{1}{B_{gc,i}} \frac{dB}{dy}$$

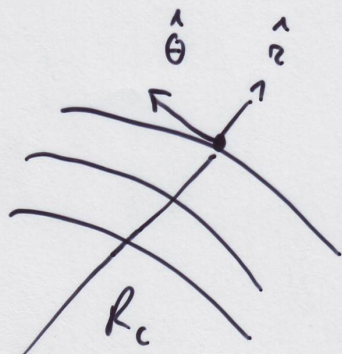
La particella quindi 'drifta' in una direzione \perp a y e z quindi dove B è costante e quindi $B_{gc,i} = B_{gc}$

La forma generale è:

$$\bar{v}_{grad} = \frac{v_{\perp}^2}{2\omega_c} \frac{\bar{B} \times \nabla B}{B^2} = \frac{v_{\perp}^2 m}{2q} \frac{\bar{B} \times \nabla B}{B^3}$$

•) DRIFT dovuto alla CURVATURA del CAMPO.

Introduciamo un sistema di coordinate cilindriche che localmente approssimano la curvatura delle linee di campo B



9)

Ad ordine 0, le particelle si muovono lungo le linee di campo (direzione $\hat{\theta}$) con velocità $v_{||} \hat{b}$ e v_{\perp} . Ci si pone in un sistema di Rif. che si muove solidalmente con le linee di campo.

$$\bar{F}_{cf} = m \frac{v_{||}^2}{R_c} \hat{b} = m v_{||}^2 \frac{\bar{R}_c}{R_c^2}$$

con R_c raggio di curvatura. In presenza di una forza rettilinea:

$$\bar{J}_{curv} = (\bar{F} \times \bar{B}) \frac{1}{q B^2} = \frac{m v_{||}^2}{q B^2} \frac{\bar{R}_c \times \bar{B}}{R_c^2} = m v_{||}^2 \frac{\bar{b} \times \bar{m}}{R_c q B^2}$$

$$\bar{m} = \frac{\bar{R}_c}{R_c}$$

Ora $\frac{\bar{R}_c}{R_c^2} = (\hat{b} \cdot \bar{\nabla}) \hat{b}$

$$\bar{J}_{curv} = \frac{m v_{||}^2}{q B^2} \bar{B} \times [(\hat{b} \cdot \bar{\nabla}) \hat{b}]$$

INVARIANTE ADIABATICO μ

Una particella che ruota (moto giromagnetico) è analoga a una corrente \rightarrow si può definire momento magnetico $\bar{\mu} = I \cdot A_s \cdot \bar{n}$

$$r_c = \frac{V_{\perp}}{\Omega_c} \quad I = \frac{dq}{dt} = \frac{q \Omega_c}{2\pi} \quad (\Omega_c \cdot T = 2\pi)$$

$$\bar{\mu} = I \pi r_c^2 \cdot \bar{n} = \frac{e \Omega_c}{2\pi} \pi \frac{V_{\perp}^2}{\Omega_c^2} = \frac{1}{2} \frac{m V_{\perp}^2}{B} \cdot \bar{n}$$

μ si conserva se B VARIA LENTAMENTE

RISPETTO AL PERIODO DEL MOTO GIROMAGNETICO

Legge di Faraday: Se $\epsilon_T = \frac{1}{2} m V_{\perp}^2$ (Em. moto rotat.)

$$\Delta \epsilon_{\perp} = q \oint \bar{E} \cdot d\bar{e} = -q \int_S \frac{\partial \bar{B}}{\partial t} \cdot d\bar{s}$$

Su un periodo di rotazione
 $P = \frac{2\pi}{\Omega_c}$

$$\Delta \epsilon_{\perp} = q \frac{\partial \Phi_B}{\partial t} = q \pi r_c^2 \cdot \frac{\partial \bar{B}}{\partial t} = \left(\text{il segno + perché nel moto giromagnetico convenzione invertita} \right)$$

$$= q \frac{V_{\perp}^2 m^2}{q^2 B^2} \cdot \pi \frac{\partial \bar{B}}{\partial t} = \frac{\epsilon_{\perp}}{B} \cdot T \cdot \frac{\partial \bar{B}}{\partial t} = \text{Se si assume che } B \text{ sia costante su } P_c$$

$$= \frac{\epsilon_{\perp}}{B} \cdot \Delta B \quad \text{con } (\Delta B = T \cdot \frac{\partial B}{\partial t})$$

$$\Delta \left(\frac{\epsilon_{\perp}}{B} \right) = 0 = \Delta \mu$$

$$\Delta \left(\frac{y}{x} \right) = \frac{\partial \left(\frac{y}{x} \right)}{\partial x} \cdot \Delta x + \frac{\partial \left(\frac{y}{x} \right)}{\partial y} \cdot \Delta y$$

$$= -\frac{y}{x^2} \cdot \Delta x + \frac{\Delta y}{x} = -\frac{y}{x^2} \Delta x + \frac{y}{x^2} \cdot \Delta x = 0$$

3) INVARIANTE ADIABATICO e MOTO A SPECCHIO

$$\mu = \frac{1}{2} \frac{m v_{\perp}^2}{B}$$

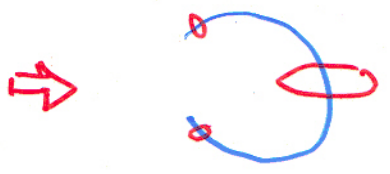
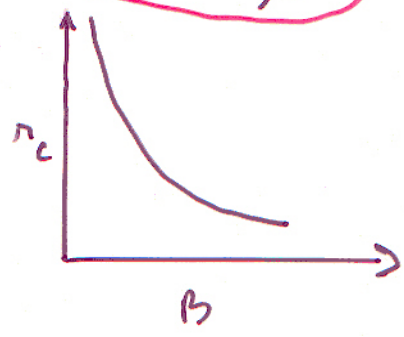
costante se B varia lentamente.

⊙ $r_c = \frac{v_{\perp} m}{q B}$

$$\mu = \frac{1}{2} \frac{m v_{\perp}^2}{\mu}$$

$$r_c = \frac{2 \mu}{q v_{\perp}}$$

$r_c \propto \frac{1}{B}$

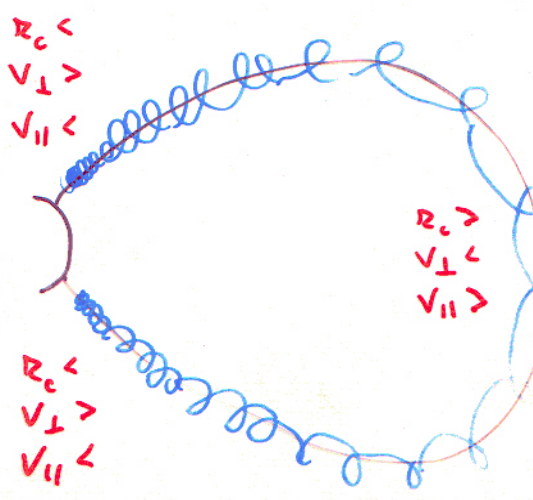
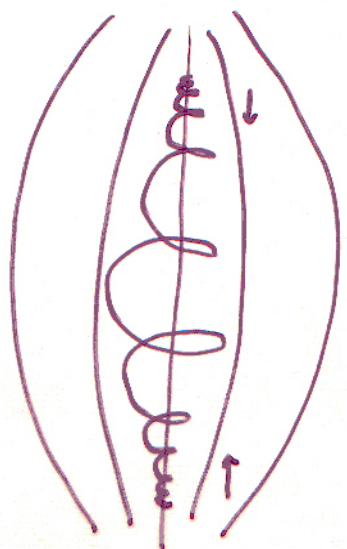


• $\frac{1}{2} (v_{\perp}^2 + v_{\parallel}^2) m = \text{costante}$ (CAMPO B NON FA LAVORO)

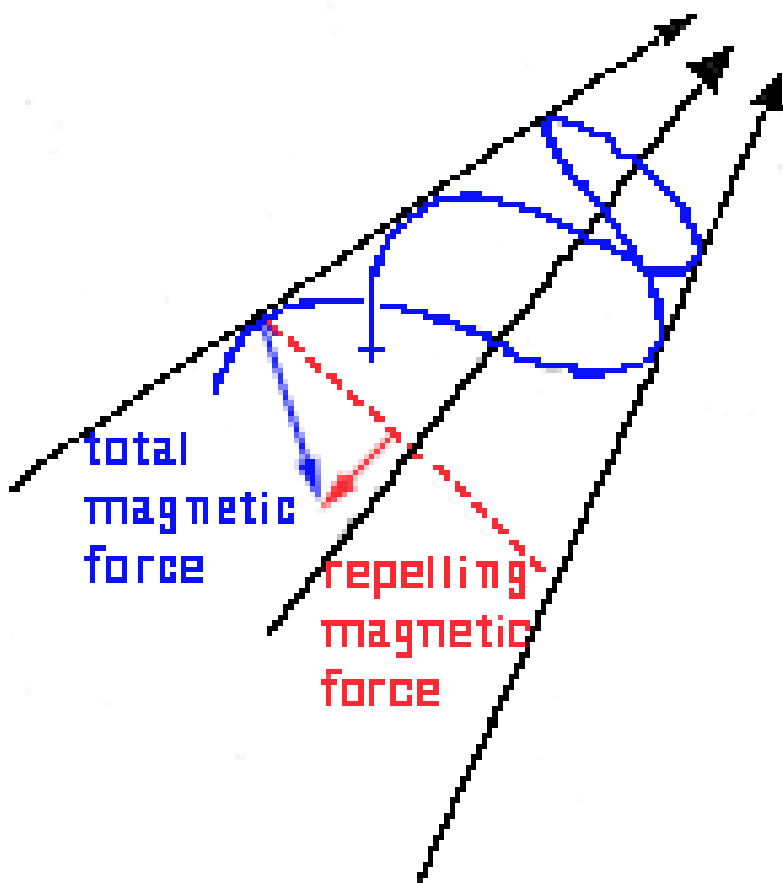
Se $B > \frac{1}{2} \frac{m v^2}{\mu}$

$v^2 = v_{\perp}^2 + v_{\parallel}^2$

PARTICELLA VIENE RIFLESSA!

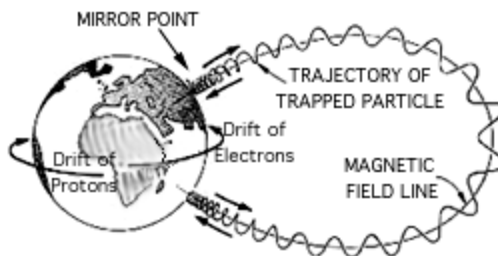
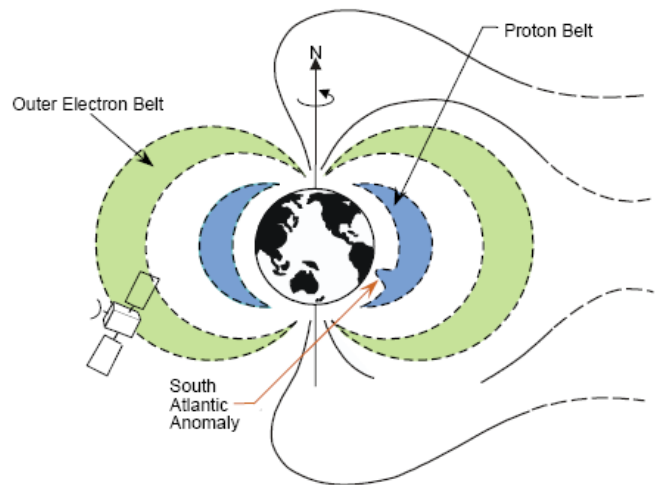
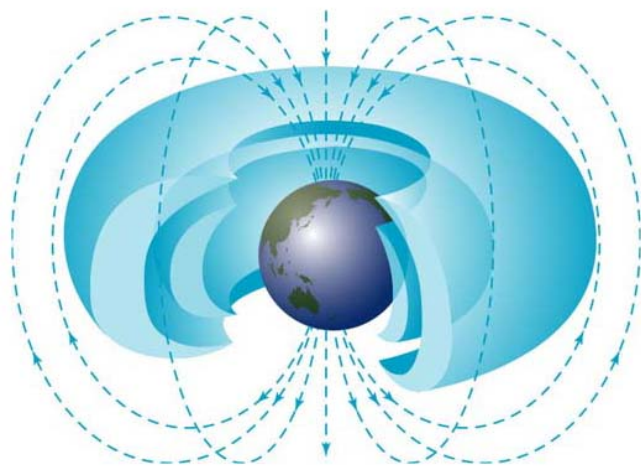


Quando il campo magnetico è inclinato, appare una forza repulsiva (si vede scomponendo le componenti di B). La forza è infatti perpendicolare alle linee di campo.

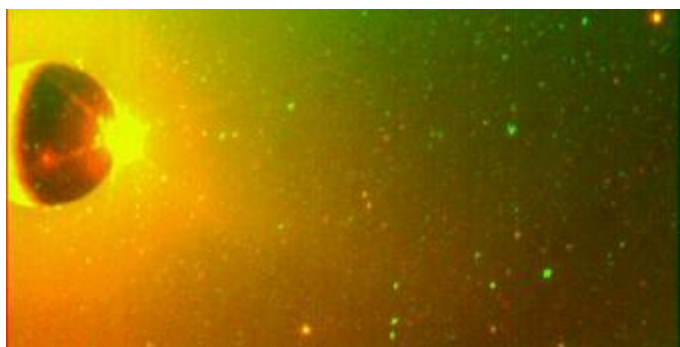
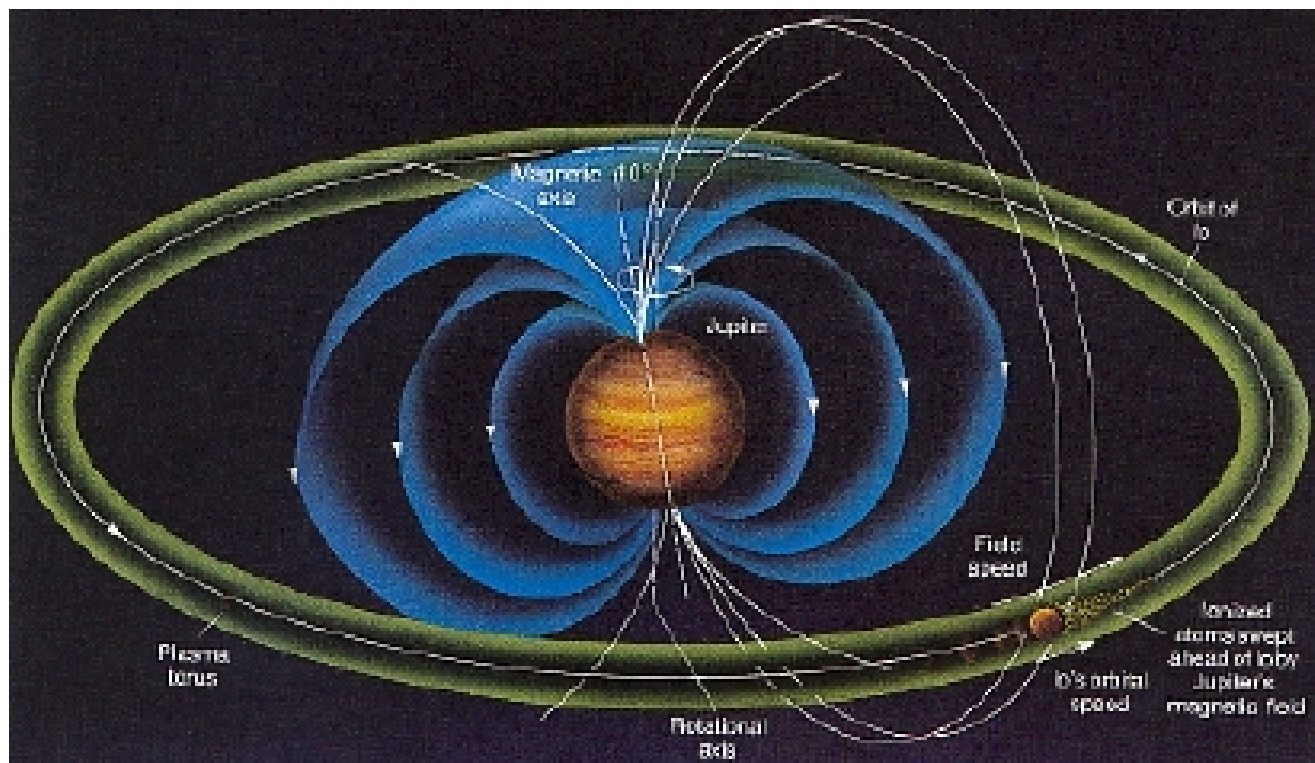


Fasce di Van Allen

- **INTERNA:** $R \sim 1-3 R_E$ (max. $2 R_E$) Composizione: p^+ (10-50 Mev) e^- , p^+ , O^+ (1-100 Kev) N^+ , He^+ , C^+ (~ 50 Mev)
- **ESTERNA:** $R \sim 3-9 R_E$ (max. $4 R_E$) Composizione: e^- (10 Mev)

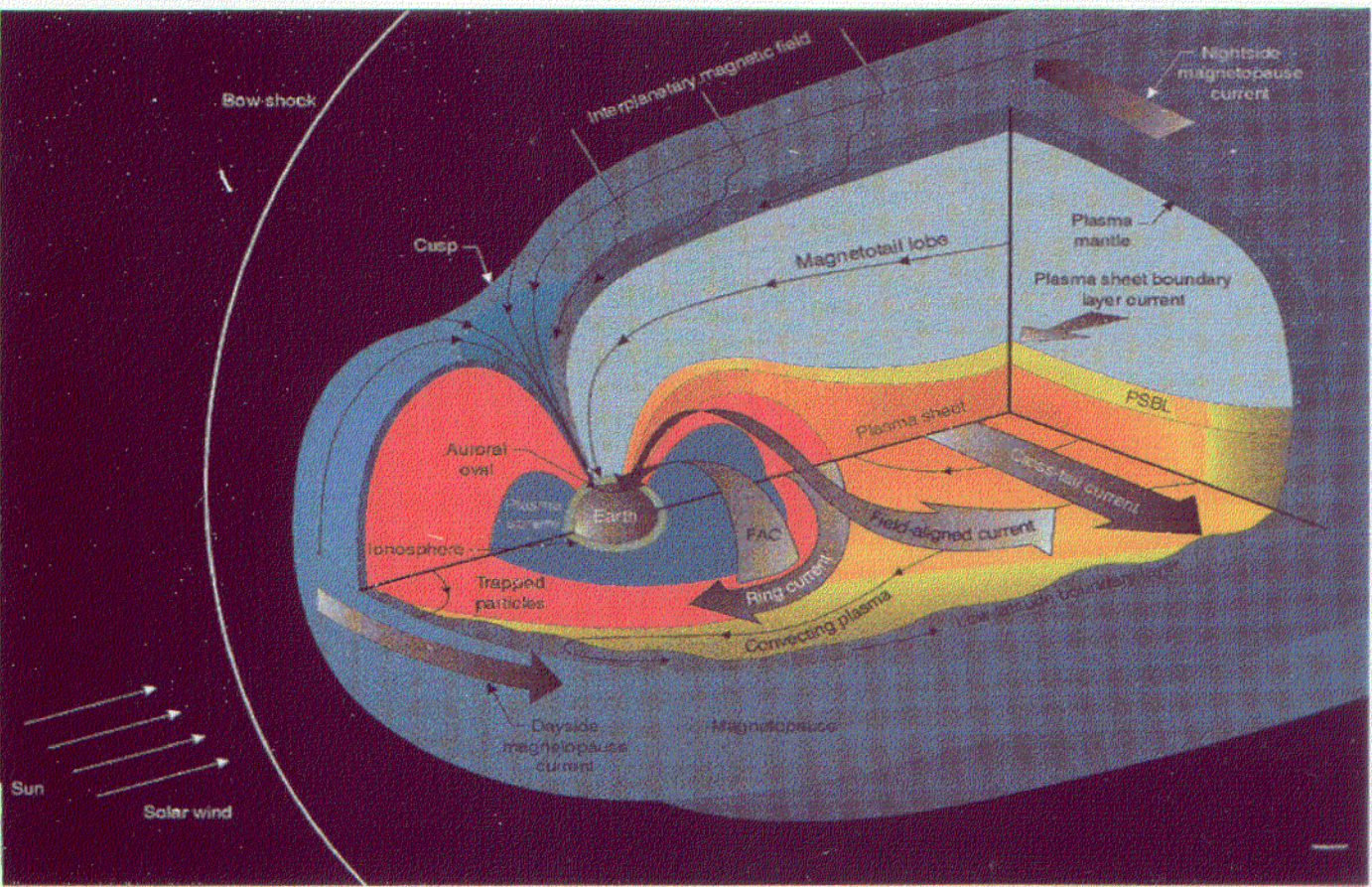


GIOVE: Fasce di Van Allen + Toro di plasma che circonda orbita di satellite Io (5.3-8 R_J , con $R_J \sim 71500$ km)



Il toro è prodotto dall'emissione di particelle da parte di Io (attività vulcanica)

MAGNETOSFERA: derivazione delle dimensioni



BILANCIAMENTO tra P_{sw} (pressione vento solare) E
 PRESSIONE MAGNETICA dovuta a campo \vec{B}

$\Delta p = - m v$ $m = m_{ione} p^+$
 $v = \text{vel. del vento solare}$

$\Delta p_{tot} = - N m v$ $F = \frac{\Delta P_{ret}}{dt}$

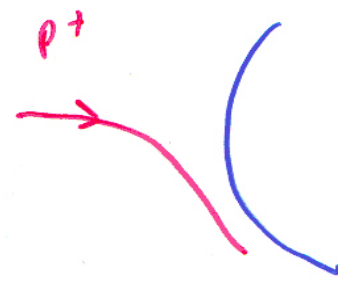
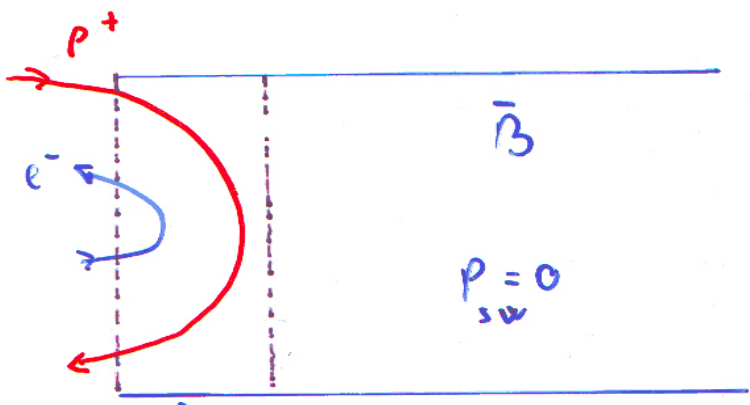
\vec{v}
 \vec{v}
 \vec{v}
 \vec{v}
 \vec{v}

A
 $v \cdot dt$

$dx = v dt$

$F = \frac{\Delta P_{ret}}{dt} = N m \frac{v}{dx}$ $P = \frac{F}{A}$

$P = \frac{N m v}{A \cdot dx} = \frac{N}{V} m v^2 = \rho v^2$
 $P_{sw} \approx \rho v^2$



CORRENTI $\Rightarrow e^-$ e p^+ si spostano.

$$P_M = \frac{B^2}{2\mu_0} \quad (\text{da } M \neq 0)$$

$$g v^2 = \frac{B^2}{2\mu_0}$$

All'equatore $B(r) = \frac{M_B}{r^3} = \frac{7.9 \times 10^{25}}{r^3} \text{ Gauss}$

$$g v^2 = \frac{M_B^2}{2\mu_0 r^6} \Rightarrow$$

$$r_M = \left(\frac{M_B^2}{2\mu_0 g v^2} \right)^{\frac{1}{6}}$$

per $g \approx 5 p^+ \text{ or } \text{cm}^3$

$v \approx 300 \text{ km/s}$

$r_M \approx 10 R_E$